

Abbildung 12.18 Rekonstruktion des Hologramms

Besonderheit:
 Interferenzmuster des Objekts
 ist gleichmäßig über das
 ganze Hologram verteilt.

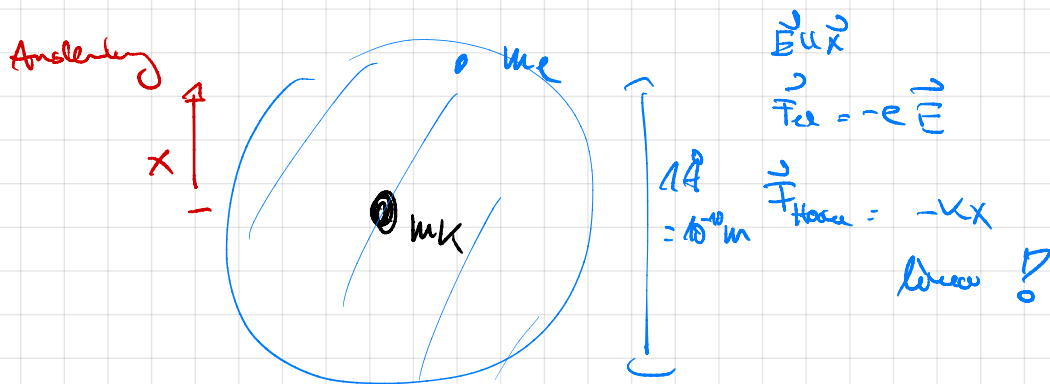
⇒ kleineres Stück des
 Holograms ergibt auch
 die gesamte Szene, nur
 mit kleinerem Bildfeld.

Denkt euch

8.2 Nicht-lineare Optik

Was passiert, wenn man den linearen Zusammenhang
 zwischen \vec{P} und \vec{E} aufgibt?

Sonnenlicht $\approx 400 \text{ V/m}$ für das \vec{E} Feld



bei üblicher Intensität ist das E -Feld sehr klein
 im Vergleich zu der Felder im Atom, d.h. der
 Oszillations

Gepulste LASER

200 MW sind im Laser recht einfach zu erreichen

⇒ Flussdichte $20 \times 10^{16} \text{ W/m}^2$

⇒ E-Feld von 10^8 V/m

Durchschlagfeld in Luft $E_{\text{Schw}} = 3 \cdot 10^6 \text{ V/m}$

Feld im Wasserstoffatom $\approx 5 \cdot 10^{11} \text{ V/m}$

Heute gibt es LASER mit $E \approx 10^{12} \text{ V/m}$

$P = \epsilon_0 \chi E$ lineare Näherung

Bzw. hohe Feldstärken

$$P = \epsilon_0 (\chi_1 E + \chi_2 E^2 + \chi_3 E^3 + \dots)$$

Einlaufende Welle $E = E_0 \sin \omega t$

$$P = \epsilon_0 \chi_1 E_0 \sin \omega t + \epsilon_0 \chi_2 E_0^2 \sin^2 \omega t + \epsilon_0 \chi_3 E_0^3 \sin^3 \omega t + \dots$$

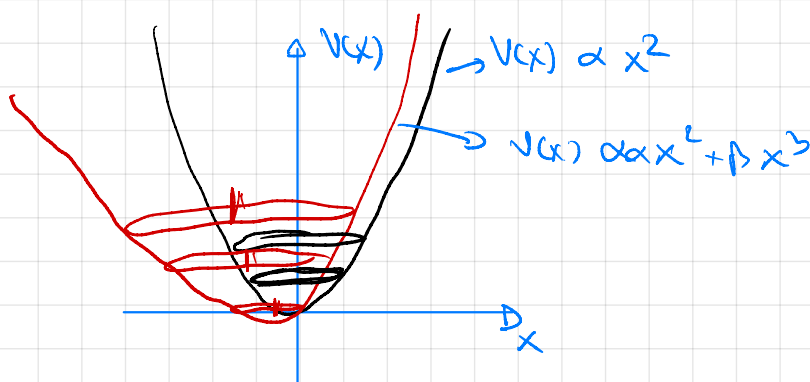
$$= \epsilon_0 \chi_1 E_0 \sin \omega t + \underbrace{\frac{\epsilon_0 \chi_2}{2} E_0^2}_{*} \underbrace{(1 - \cos 2\omega t)}_{*} +$$

$$\frac{\epsilon_0 \chi_3}{4} E_0^3 (3 \sin \omega t - \sin 3\omega t)$$

Verdreifachung der Frequenz

* : optische Brechzahl

Konstante Lichtgradpolarisation $\propto E^2$



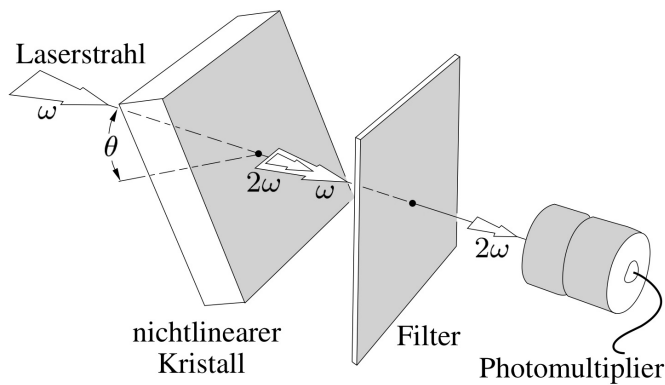
$\chi_2 \equiv 0$ für inversionssymmetrische Situationen

Ist $\chi_2 \neq 0 \Rightarrow$ Das System zeigt keine Inversionssymmetrie.

Piezoelektrische Kristalle

Beispiele Quarz, Kaliumdihydrogenphosphat KDP

* : Frequenzverdopplung



Hoch

Für eine große Intensität des 2ω Lichts, müssen die Partialwellen eines jeden Oszillators konstruktiv überlagert werden.

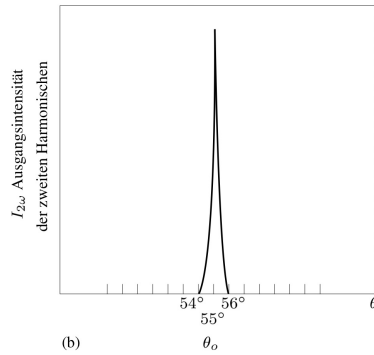
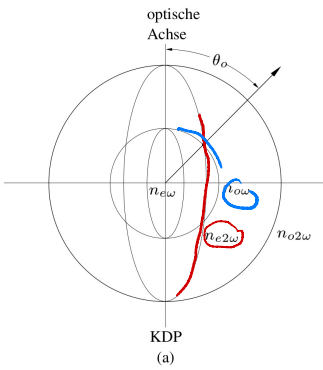
F ω Licht mit Frequenz ω : $v_{\text{phase}}|_{\omega} = v_{\omega}$
F 2ω " " " 2ω : $v_{\text{phase}}|_{2\omega} = v_{2\omega}$

konstruktive Interferenz : $v_{\omega} = v_{2\omega}$

Das normale Abhängigkeit des Brechungsindex n von ω wird dies nicht aufheben.

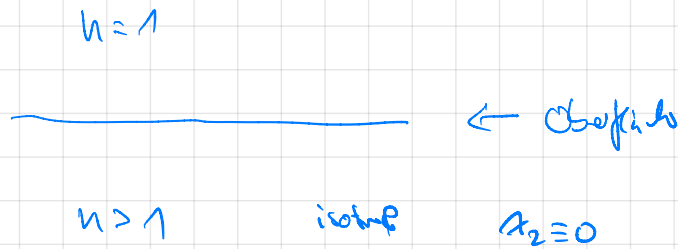


$v_{\omega} \neq v_{2\omega}$



$v_{1\omega} = v_{2\omega}$ Raum in
 koppelgrade Kristalle
 für verschiedene Frequenzen
 ω durch Wahl des
 Einfallswinkels erreicht werden.

Heddit



An Oberfläche von isotroper Medien ist $n_2 \neq 0$!

Allgemein für : $E = E_{01} \sin \omega_1 t + E_{02} \sin \omega_2 t$

mit $\omega_1 \neq \omega_2$ stattd. war für $n_2 \neq 0$

$$\epsilon_0 n_2^2 (E_{01}^2 \sin^2 \omega_1 t + E_{02}^2 \sin^2 \omega_2 t + 2 E_{01} E_{02} \sin \omega_1 t \sin \omega_2 t)$$

Frequenzen

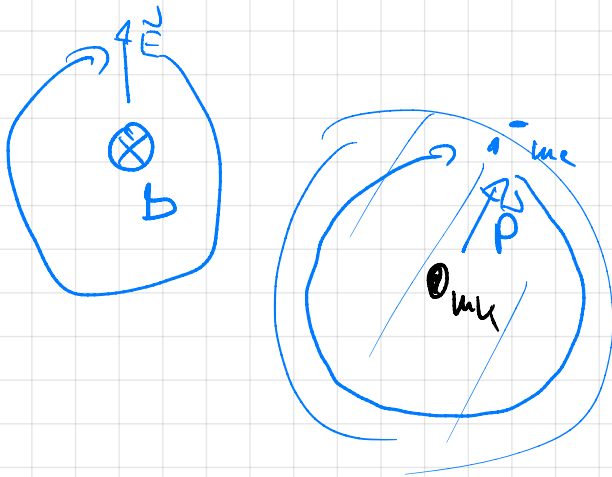
\downarrow
 $2\omega_1$
 0

\downarrow
 $2\omega_2$
 0

\downarrow
 $\omega_1 + \omega_2$
 $\omega_1 - \omega_2$

Es können auch Summen- und Differenzfrequenzen
 erzeugt werden. \rightarrow Modulation

8.3 Magnetooptik



Zirkular polarisierte Welle
 rotiert ihre Zirkularisierungs-
 polarisation der Oszillationen
 an.

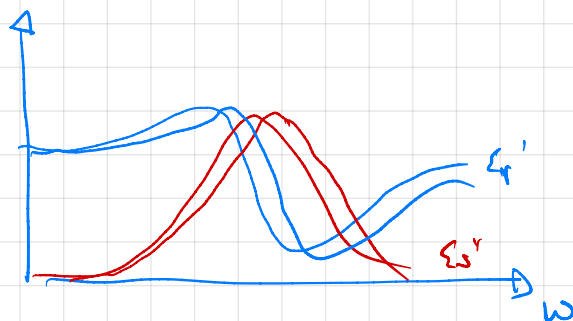
⇒ drehische Ladung auf zwei Kristallachsen und im
 Magnetfeld B .

⇒ Eigenfrequenz für σ^+ und σ^- Licht
 unterschiedlich sind.

$$\omega^+ \neq \omega^-$$

$$\Rightarrow n^+ \neq n^-$$

Absorption für σ^+ und σ^- Licht
 unterschiedlich



⇒ Verhalten ähnlich wie bei optisch aktiven
 Medien

Rotation der Polarisationsachse von linear polarisiertem
 Licht aufgrund der unterschiedlichen Brechzahl.

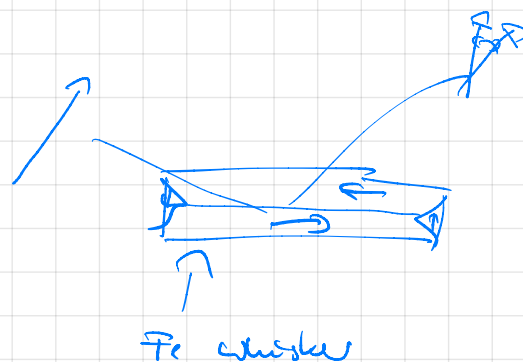
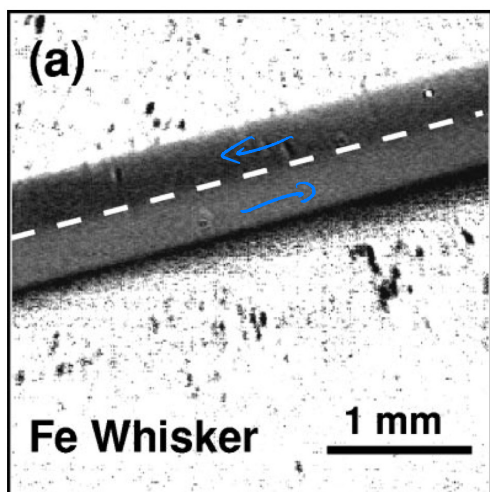
Faraday Effekt

Der Effekt tritt auch auf in ferromagnetischen Substanzen ohne äußeres Magnetfeld.

Die verschiedene Absorption führt zu einer elliptischen Polarisation.

Die Effekte treten auch auf in Reflexion an metallischen Oberflächen z.B. an ferromagnetischem Eisen.

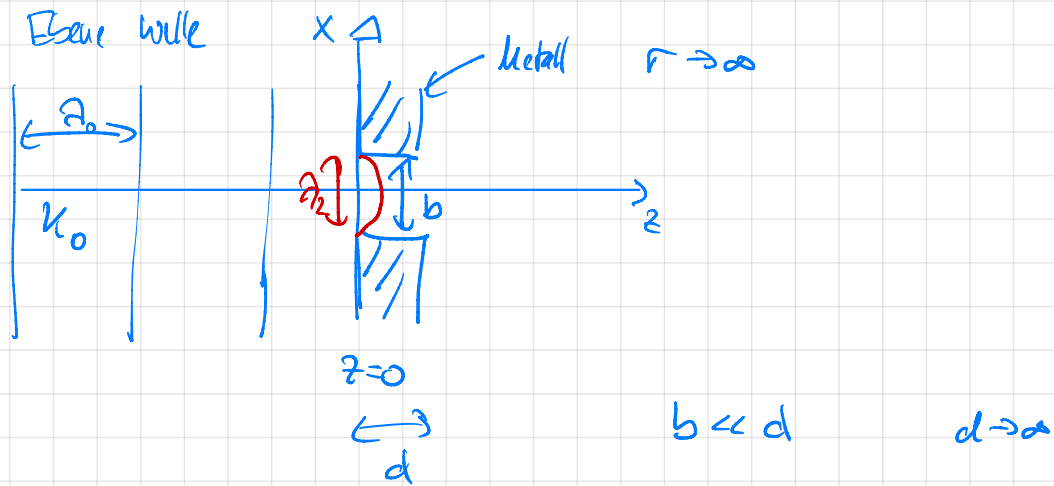
Dies nennt man den magneto-optischen Kerr Effekt.



J. Appl. Phys. 95, 7025 (2004)

8.4 Near field optics

Frage: Was passiert, wenn wir eine Spalte sehr klein machen?



Feldverteilung ?

Randbedingung ($r \rightarrow \infty$)

$$E(x = -b/2) = E(x = +b/2) = 0$$

Ansatz im Spalt

$$E = \underbrace{E_0 e^{i(k_y y + k_z z - \omega t)}}_{\text{Ebene Welle}} \underbrace{\cos\left(\frac{x}{b} \cdot \pi\right)}_{\text{stehende Welle}} = E_0 e^{i(k_z z - \omega t)} \cdot \cos\left(\frac{x}{b} \pi\right)$$

wähle $k_y = 0$
 \rightarrow
 $k \parallel z$ -Achse

Wie setzen den Ansatz in die Wellengleichung ein

$$\Delta E - \frac{1}{c^2} \frac{\partial^2 E}{\partial t^2} = 0$$

$$\Rightarrow k_z^2 + \left(\frac{\pi}{b}\right)^2 = \frac{\omega^2}{c^2}$$

$$v_{ph} = \frac{\omega}{k_z} = \frac{\omega}{\sqrt{\frac{\omega^2}{c^2} - \left(\frac{\pi}{b}\right)^2}} \quad \dots \quad c/c$$

$$= \frac{c_0}{\sqrt{1 - \frac{c_0^2}{\omega^2} \left(\frac{\pi}{b}\right)^2}}$$

mit $\frac{c_0}{\omega} = \frac{1}{k_0}$

$$\Rightarrow = \frac{c_0}{\sqrt{1 - v_0^{-2} \left(\frac{\pi}{b}\right)^2}} = \frac{c_0}{\sqrt{1 - \frac{\beta^2}{(2\pi f)^2} \left(\frac{\pi}{b}\right)^2}}$$

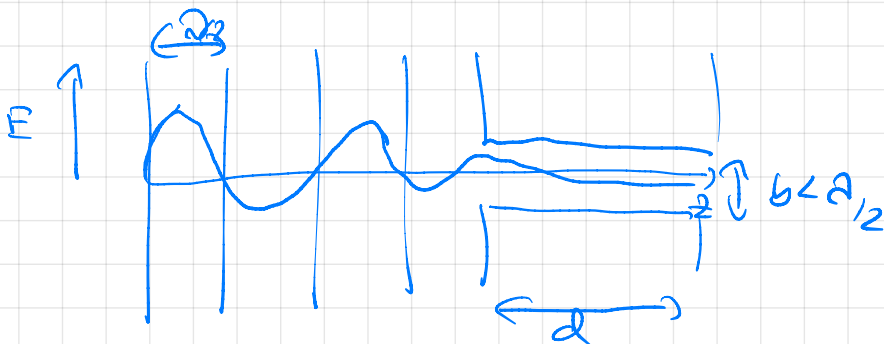
$$= \frac{c_0}{\sqrt{1 - \left(\frac{\beta_0^2}{2b}\right)^2}} \xrightarrow{\beta_0 \rightarrow \infty} c_0$$

für $\frac{\beta_0}{2b} = 1$ also für $b = \frac{\beta_0}{2}$ $v_{ph} \rightarrow \infty$

für $b < \frac{\beta_0}{2}$ wird v_{ph} imaginär!

Dies entspricht einem imaginären Wellenvektor (k_z)

\Rightarrow keine oszillierende Welle, sondern exponentiell abfallendes elektrisches Feld!

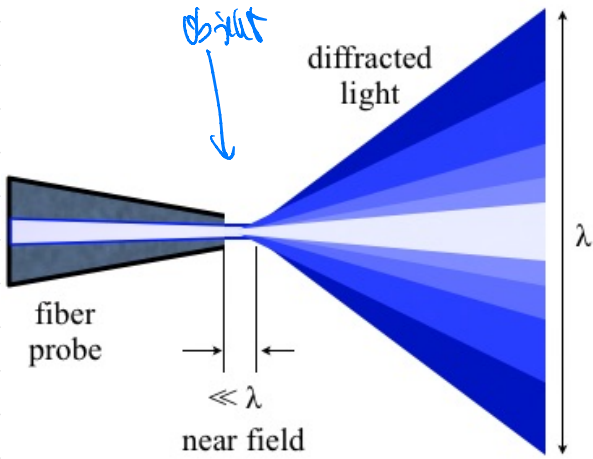


Keine Transmission durch einen Spalt mit $b < \lambda/2$.

Wenn wir d klein wählen, so tritt auf der

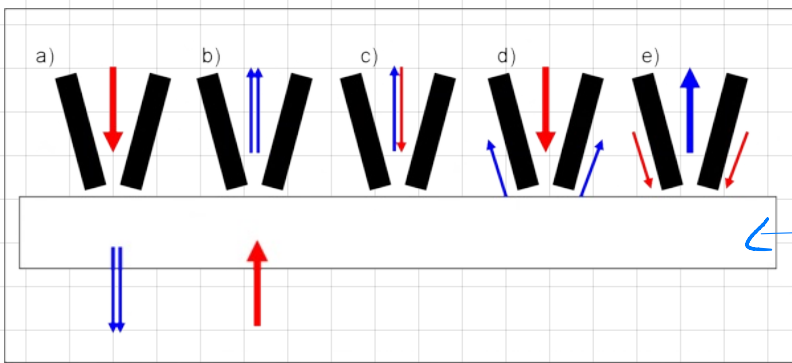
Rückseite etwas Licht aus.

Scanning near field optical microscopy SNOOM

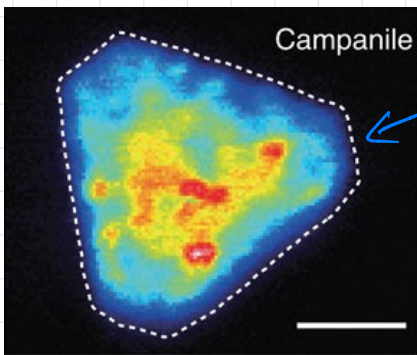


Abstraktion der kleinen Öffnung
über der Probe und
integrierte Lichtmessung

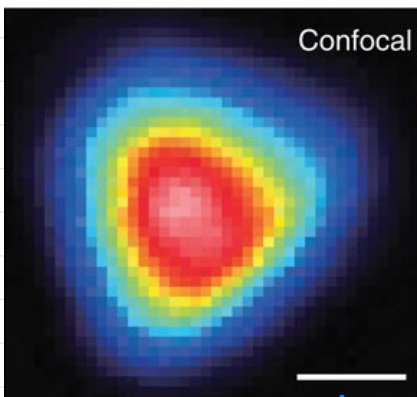
Wiki



← Objekt
Wiki



MoS₂ Flöcke



Erreichbare Auflösungen sind
viel besser als die
Beugungsgrenze.

Wiki

1 μm